Méthode des éléments finis Formulation intégrale du problème modèle de la barre

Prof. F. Gallaire

- Orthogonalité (au sens du produit scalaire dans H^1) entre erreur $e^h = u u^h$ et déplacement approché u^h
 - Forme faible approchée

$$u^{h} \in U^{h}: \int_{0}^{\ell} EA \left(du^{h} / dx \right) \left(d\delta u^{h} / dx \right) dx$$
$$= P \delta u^{h}(\ell) + \int_{0}^{\ell} q \delta u^{h} dx \quad \forall \ \delta u^{h} \in V^{h}$$

Forme faible exacte avec $\delta u = \delta u^h \ (V^h \subset V)$

$$u \in U : \int_0^{\ell} EA \left(\frac{du}{dx} \right) \left(\frac{d\delta u^h}{dx} \right) dx$$
$$= P \, \delta u^h(\ell) \, + \int_0^{\ell} q \, \delta u^h \, dx \quad \forall \, \delta u^h \in V^h$$

Soustraction des deux équations

$$\int_{0}^{\ell} EA \left(\frac{du}{dx} - \frac{du^{h}}{dx} \right) \left(\frac{d\delta u^{h}}{dx} \right) dx$$

$$= \int_{0}^{\ell} EA \left(\frac{de^{h}}{dx} \right) \left(\frac{d\delta u^{h}}{dx} \right) dx = 0 \quad \forall \quad \delta u^{h} \in V^{h}$$

$$e^{h} \quad \text{fonction erreur}$$

$$e^{h} = u - u^{h}$$

$$u^{h} \quad \text{projection}$$

$$de \quad u \quad \text{sur } V^{h}$$

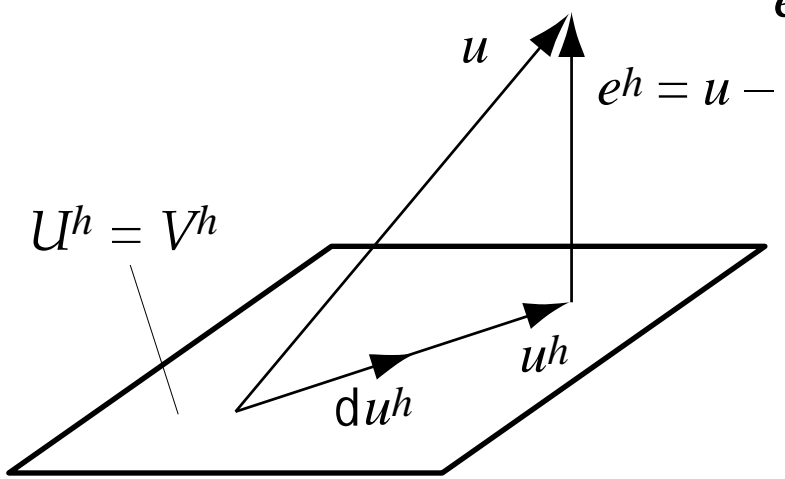
-81-

Soustraction des deux équations

$$\int_{0}^{\ell} EA \left(\frac{du}{dx} - \frac{du^{h}}{dx} \right) \left(\frac{d\delta u^{h}}{dx} \right) dx$$

$$= \int_{0}^{\ell} EA \left(\frac{de^{h}}{dx} \right) \left(\frac{d\delta u^{h}}{dx} \right) dx = 0 \quad \forall \ \delta u^{h} \in V^{h}$$

$$e^{h} \text{ fonction erreur}$$





 u^h projection de u sur V^h



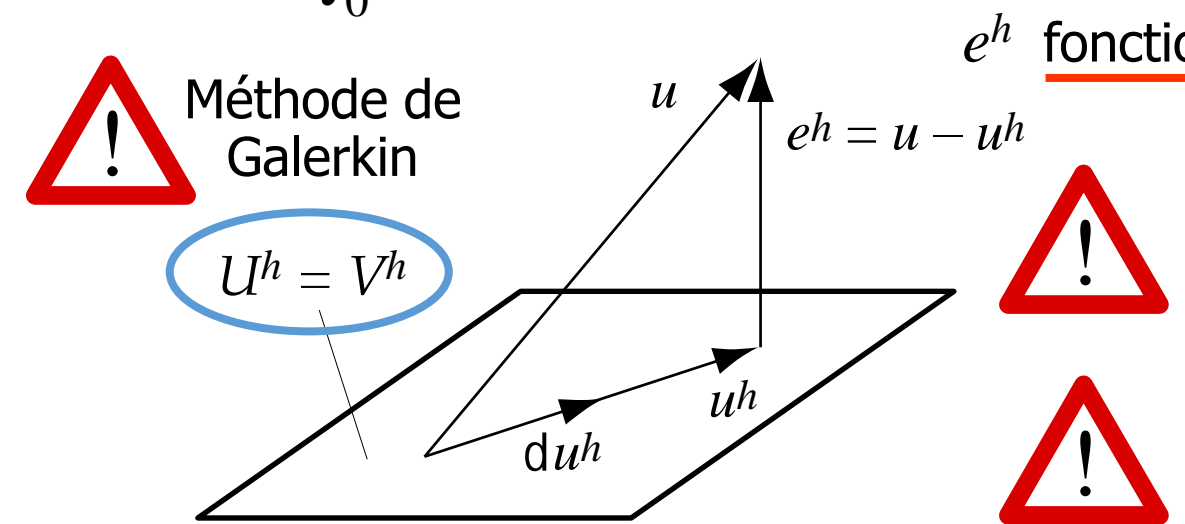
 u^h meilleure approximation de u dans U^h

Soustraction des deux équations

$$\int_{0}^{\ell} EA \left(\frac{du}{dx} - \frac{du^{h}}{dx} \right) \left(\frac{d\delta u^{h}}{dx} \right) dx$$

$$= \int_{0}^{\ell} EA \left(\frac{de^{h}}{dx} \right) \left(\frac{d\delta u^{h}}{dx} \right) dx = 0 \quad \forall \ \delta u^{h} \in V^{h}$$

$$e^{h} \text{ fonction erreur}$$



 u^h projection de u sur V^h

 u^h meilleure approximation de u dans U^h

- Meilleure approximation u^h de la solution cherchée u dans le sous-espace U^h
 - Norme de l'écart entre la solution u et le déplacement virtuel δu^h

$$\int_{0}^{\ell} [d(u - \delta u^{h})/dx]^{2} dx$$

$$= \int_{0}^{\ell} [d(u - u^{h} + u^{h} - \delta u^{h})/dx]^{2} dx$$

$$= \int_{0}^{\ell} [d(u - u^{h})/dx]^{2} dx + \int_{0}^{\ell} [d(u^{h} - \delta u^{h})/dx]^{2} dx$$

$$+ 2 \int_{0}^{\ell} [d(u - u^{h})/dx] [d(u^{h} - \delta u^{h})/dx] dx$$

-84-

- Meilleure approximation u^h de la solution cherchée u dans le sous-espace U^h
 - Norme de l'écart entre la solution u et le déplacement virtuel δu^h

$$\int_{0}^{\ell} [d(u - \delta u^{h})/dx]^{2} dx$$

$$= \int_{0}^{\ell} [d(u - u^{h} + u^{h} - \delta u^{h})/dx]^{2} dx$$

$$= \int_{0}^{\ell} [d(u - u^{h})/dx]^{2} dx + \int_{0}^{\ell} [d(u^{h} - \delta u^{h})/dx]^{2} dx$$

$$+ 2 \int_{0}^{\ell} [d(u - u^{h})/dx] [d(u^{h} - \delta u^{h})/dx] dx$$

18/10/2018 -85-

Insertion du déplacement virtuel $w^h = u^h - \delta u^h$ ($w^h \in V^h$) $\int_0^\ell \left[\mathrm{d}(u - \delta u^h) / \mathrm{d}x \right]^2 \, \mathrm{d}x$ $= \int_0^\ell \left[\mathrm{d}(u - u^h) / \mathrm{d}x \right]^2 \, \mathrm{d}x + \int_0^\ell \left(\mathrm{d}w^h / \mathrm{d}x \right)^2 \, \mathrm{d}x$ $+ 2 \int_0^\ell \left[\mathrm{d}(u - u^h) / \mathrm{d}x \right] \left(\mathrm{d}w^h / \mathrm{d}x \right) \, \mathrm{d}x$

18/10/2018 -86-

Insertion du déplacement virtuel $w^h = u^h - \delta u^h \ (w^h \in V^h)$

$$\int_{0}^{\ell} [d(u - \delta u^{h})/dx]^{2} dx$$

$$= \int_{0}^{\ell} [d(u - u^{h})/dx]^{2} dx + \int_{0}^{\ell} (dw^{h}/dx)^{2} dx$$

$$+ 2 \int_{0}^{\ell} [d(u - u^{h})/dx] (dw^{h}/dx) dx$$

- Prise en compte de l'orthogonalité de la solution $(w^h \in V^h)$

$$\int_0^\ell \left[d(u - \delta u^h) / dx \right]^2 dx$$

$$= \int_0^\ell \left[d(u - u^h) / dx \right]^2 dx + \int_0^\ell \left(dw^h / dx \right)^2 dx$$

Réorganisation de l'égalité

$$\int_0^\ell \left[d(u - u^h)/dx \right]^2 dx$$

$$= \int_0^\ell \left[d(u - \delta u^h)/dx \right]^2 dx - \int_0^\ell \left(dw^h/dx \right)^2 dx$$

Meilleure approximation dans le sous-espace

$$\int_0^{\ell} [d(u - u^h)/dx]^2 dx$$

$$\leq \int_0^{\ell} [d(u - \delta u^h)/dx]^2 dx \quad \forall \ \delta u^h \in V^h$$



Optimalité des méthodes de Galerkin et des éléments finis

18/10/2018 -88-

Réorganisation de l'égalité

organisation de regalite
$$\int_0^\ell \left[d(u - u^h)/dx \right]^2 dx$$

$$= \int_0^\ell \left[d(u - \delta u^h)/dx \right]^2 dx - \int_0^\ell (dw^h/dx)^2 dx$$

Meilleure approximation dans le sous-espace

$$\int_0^{\ell} [d(u - u^h)/dx]^2 dx$$

$$\leq \int_0^{\ell} [d(u - \delta u^h)/dx]^2 dx \quad \forall \ \delta u^h \in V^h$$



Optimalité des méthodes de Galerkin et des éléments finis

 Précision locale optimale (valeurs nodales exactes de la solution): superconvergence

Démonstration p. 38 du cours



Superconvergence liée à l'allure de la forme forte et au choix des fonctions de base

- Estimations asymptotiques d'erreur
 - Rappel de la définition de l'erreur d'approximation

$$e^h(x) = u(x) - u^h(x)$$

-90-

Norme maximale de l'erreur (norme C^0)

$$|e^h|_0 = \max_{0 \le x \le \ell} |e^h|$$

Norme euclidienne de l'erreur (norme H^0)

$$\|e^h\|_0 = \left[\int_0^\ell (e^h)^2 dx\right]^{1/2}$$

Norme énergétique de l'erreur (norme H^1)

$$\|e^h\|_1 = \left[\int_0^\ell \left[(e^h)^2 + (\mathrm{d}e^h/\mathrm{d}x)^2\right] \mathrm{d}x\right]^{1/2}$$
erreur sur le erreur sur la déplacement déformation



Semi-norme de l'énergie de déformation (norme H_F^1 de l'erreur)

$$\|e^h\|_E = \left[\int_0^\ell (de^h/dx)^2 dx\right]^{1/2}$$
 $\|e^h\|_E \to 0$ $\sin e^h \to 0$



-92-17/10/2019

- Semi-norme de l'énergie de déformation (norme $H_{\!E}^1$ de l'erreur)

$$\|e^h\|_E = \left[\int_0^\ell (\mathrm{d}e^h/\mathrm{d}x)^2 \,\mathrm{d}x\right]^{1/2}$$

Estimations asymptotiques de l'erreur

$$\|e^h\|_k \le C_k h^p$$
 $(h/\ell << 1)$ k type de norme

 C_k facteur de convergence

p taux de convergence (p = m + 1 - k)

m degré du polynôme complet caractérisant les fonctions de base $h_i(x)$

h longueur caractéristique du réseau ($h = \max_{e} {}^{e}\ell$)

- Semi-norme de l'énergie de déformation (norme $H_{\!E}^1$ de l'erreur)

$$\|e^h\|_E = \left[\int_0^\ell (\mathrm{d}e^h/\mathrm{d}x)^2 \,\mathrm{d}x\right]^{1/2}$$

Estimations asymptotiques de l'erreur

$$\|e^h\|_k \le C_k p$$
 $(h/\ell << 1)$ k type de norme

 C_k facteur de convergence

p taux de convergence (p = m + 1 - k)

m degré du polynôme complet caractérisant les fonctions de base $h_i(x)$

h longueur caractéristique du réseau ($h = \max_{e} {}^{e}\ell$)

- Semi-norme de l'énergie de déformation (norme $H_{\!E}^1$ de l'erreur)

$$\|e^h\|_E = \left[\int_0^\ell (\mathrm{d}e^h/\mathrm{d}x)^2 \,\mathrm{d}x\right]^{1/2}$$

Estimations asymptotiques de l'erreur

$$\|e^h\|_k \le C_k h^p$$
 $(h/\ell << 1)$ k type de norme

 C_k facteur de convergence

p taux de convergence (p = (m) + 1 - k)

m degré du polynôme complet caractérisant les fonctions de base $h_i(x)$

h longueur caractéristique du réseau ($h = \max_{e} {}^{e}\ell$)

9

- Semi-norme de l'énergie de déformation (norme $H_{\!E}^1$ de l'erreur)

$$\|e^h\|_E = \left[\int_0^\ell (\mathrm{d}e^h/\mathrm{d}x)^2 \,\mathrm{d}x\right]^{1/2}$$

Estimations asymptotiques de l'erreur

$$||e^h||_k \le C_k h^p$$
 $(h/\ell << 1)$ k type de norme

 C_k facteur de convergence

p taux de convergence (p = m + 1 - k)

m degré du polynôme complet caractérisant les fonctions de base $h_i(x)$

h longueur caractéristique du réseau ($h = \max_{a} {}^{e}\ell$)

9

- Semi-norme de l'énergie de déformation (norme $H_{\!E}^1$ de l'erreur)

$$\|e^h\|_E = \left[\int_0^\ell (\mathrm{d}e^h/\mathrm{d}x)^2 \,\mathrm{d}x\right]^{1/2}$$

Estimations asymptotiques de l'erreur

$$\|e^h\|_k \le C_k h^p$$
 $(h/\ell << 1)$ k type de norme

 C_k facteur de convergence

p taux de convergence (p = m + 1 - k)

m degré du polynôme complet caractérisant les fonctions de base $h_i(x)$

h longueur caractéristique du réseau ($h = \max_{i} {}^{e}\ell$)

9

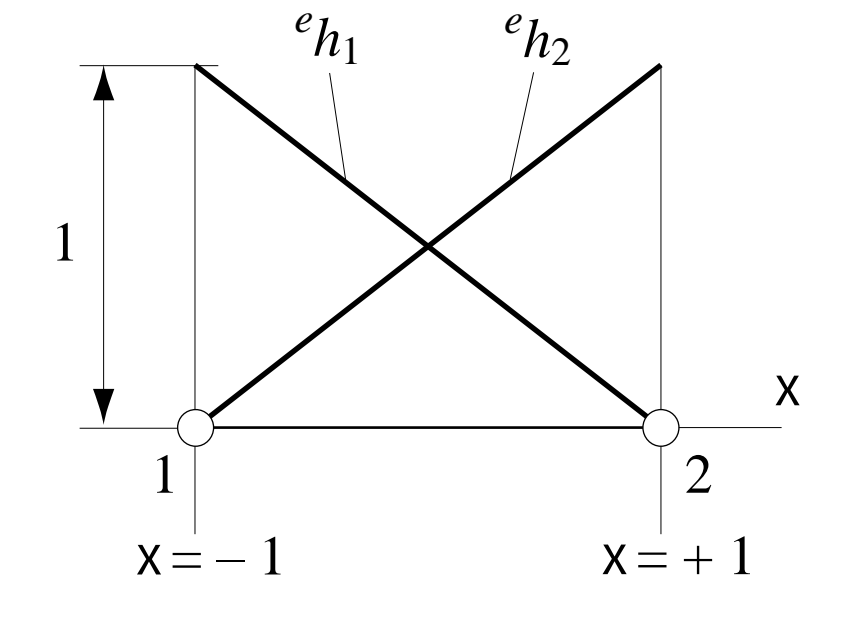
Estimations d'erreur a priori avec des fonctions de base linéaires

$$m = 1 p = 2 - k$$

$$\| e^{h} \|_{0} \le C_{0} h^{2}$$

$$\| e^{h} \|_{E} \le C_{E} h$$

$$\| e^{h} \|_{1} \le C_{1} h$$



$$(|e^h|_0 \le C_0'h^2)$$

Estimations d'erreur a priori avec des fonctions de base linéaires

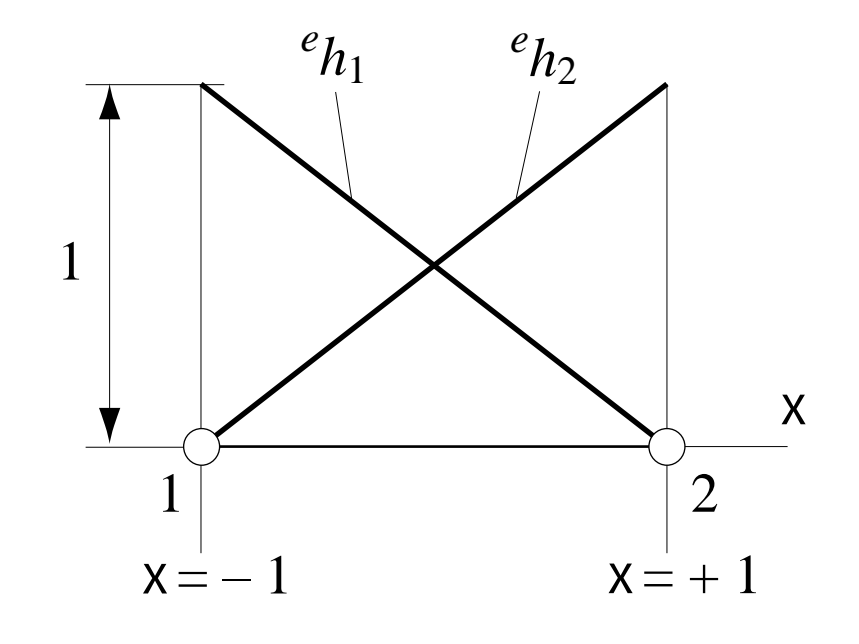
$$m = 1$$

$$p = 2 - k$$

$$\|e^h\|_0 \le C_0 h^2$$

$$\|e^h\|_E \le C_E h$$

$$\|e^h\|_1 \le C_1 h$$



-99-

Estimations d'erreur a priori avec des fonctions de base linéaires

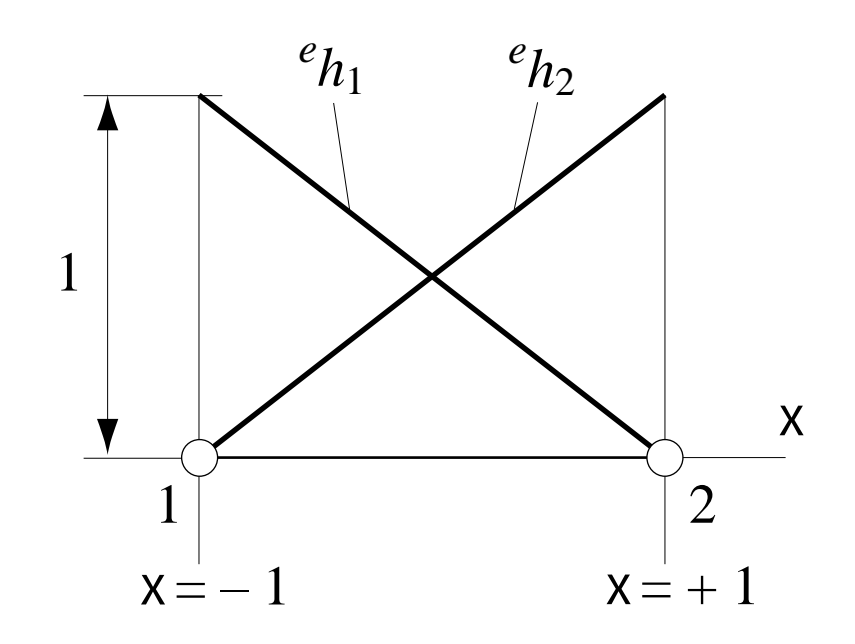
$$m = 1$$

$$p = 2 - k$$

$$\|e^h\|_0 \le C_0 h^2$$

$$\|e^h\|_E \le C_E h$$

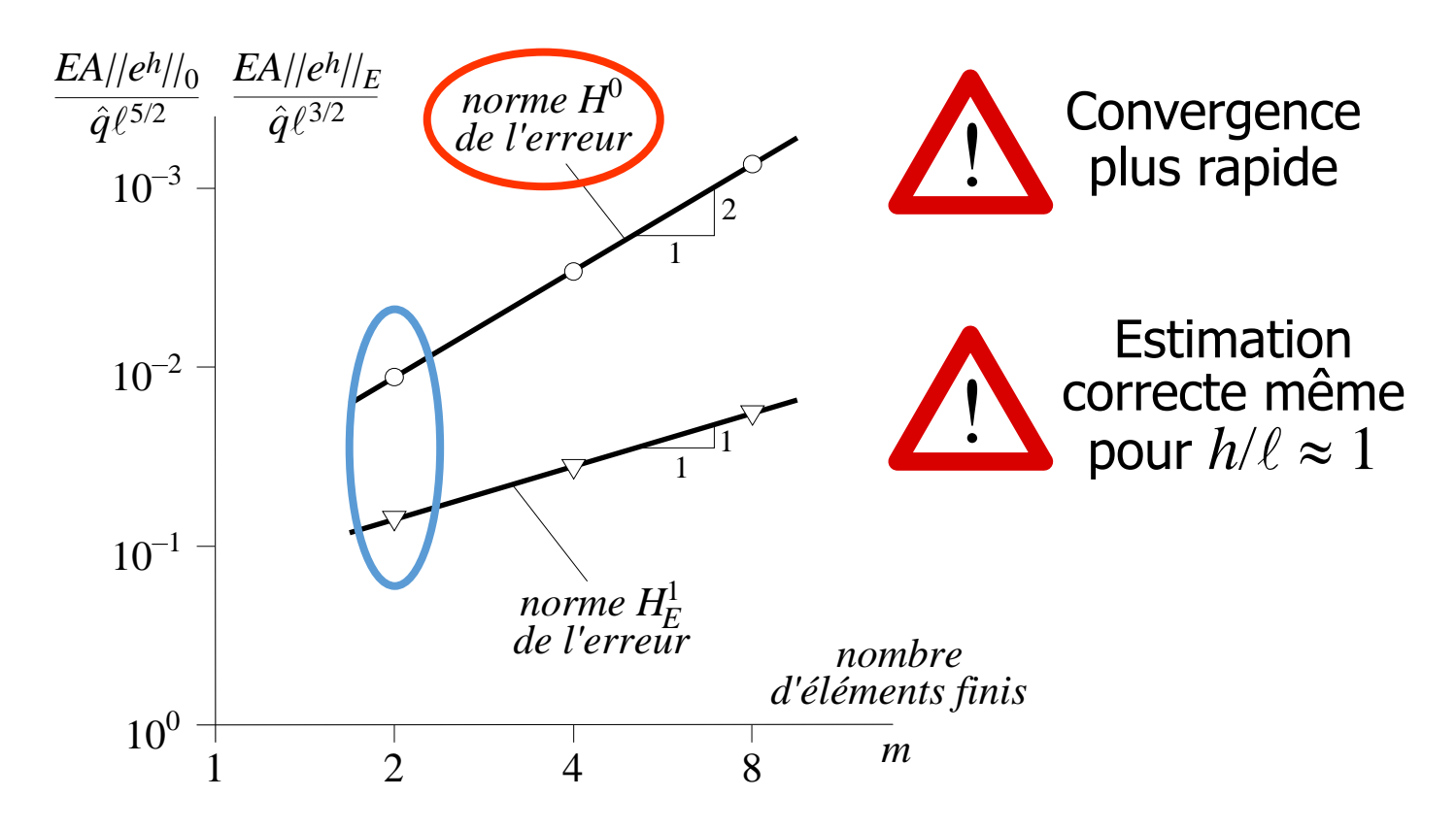
$$\|e^h\|_1 \le C_1 h$$





Taux de convergence déplacement ⇔ déformation

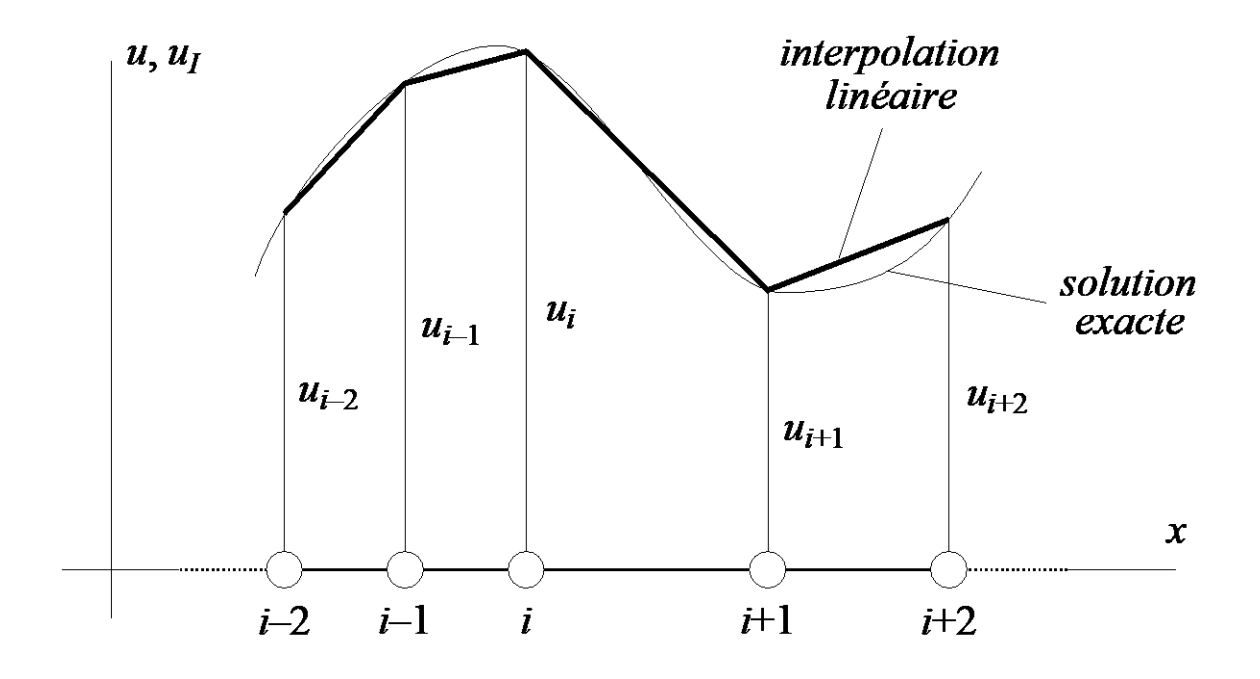
Exemple : problème de la barre soumise à une charge répartie



-101-

- Etablissement de la norme énergétique de l'erreur
 - Interpolation linéaire du déplacement (solution exacte aux nœuds)

$$u_I(x_i) = u(x_i) = u_i$$
 $(i = 1, 2, ..., p)$



-102-

Décomposition en série de Fourier du résidu entre solution exacte et interpolation nodale entre deux nœuds successifs

$$\rho(x) = u(x) - u_I(x) = \sum_{m=1}^{\infty} a_m \sin \frac{m \pi x}{e_{\ell}} \quad (0 \le x \le e^{\ell})$$

 $^e\ell$ longueur de l'élément fini

Norme des dérivées première et seconde de la fonction résidu

$$\int_{0}^{e_{\ell}} (d\rho/dx)^{2} dx = \frac{e_{\ell}}{2} \sum_{m=1}^{\infty} \left[\frac{m\pi}{e_{\ell}} \right]^{2} a_{m}^{2}$$

$$\int_{0}^{e_{\ell}} (d^{2}\rho/dx^{2})^{2} dx = \frac{e_{\ell}}{2} \sum_{m=1}^{\infty} \left[\frac{m\pi}{e_{\ell}} \right]^{4} a_{m}^{2}$$

Inégalité de Poincaré-Friedrich ($m \le m^2$ pour $m \ge 1$)

$$\left(\frac{m\pi}{e_{\ell}}\right)^{2} a_{m}^{2} \leq \frac{e_{\ell}^{2}}{\pi^{2}} \left(\frac{m\pi}{e_{\ell}}\right)^{4} a_{m}^{2} \qquad (m \geq 1)$$

$$\Rightarrow \int_{0}^{e_{\ell}} (d\rho/dx)^{2} dx \leq \frac{e_{\ell}^{2}}{\pi^{2}} \int_{0}^{e_{\ell}} (d^{2}\rho/dx^{2})^{2} dx$$

- Caractérisation de la norme de la dérivée du résidu (élément $^e\Omega$)

$$\int_{0}^{e_{\ell}} (d\rho/dx)^{2} dx \leq \frac{e_{\ell}^{2}}{\pi^{2}} \int_{0}^{e_{\ell}} (d^{2}u/dx^{2})^{2} dx \qquad \underbrace{\qquad \qquad }_{\text{linéaire}}^{u_{I}(x)}$$

$$\leq \frac{h^{2}}{\pi^{2}} \int_{0}^{e_{\ell}} (d^{2}u/dx^{2})^{2} dx \qquad (h = \max_{e} e^{\ell})$$

Extension de la caractérisation de la norme à l'ensemble du réseau

$$\int_0^{\ell} (d\rho/dx)^2 dx \le \frac{h^2}{\pi^2} \int_0^{\ell} (d^2u/dx^2)^2 dx$$

Caractérisation analogue de la norme du résidu

$$\int_0^\ell \rho^2 \, dx \le \frac{h^4}{\pi^4} \int_0^\ell (d^2 u / dx^2)^2 \, dx$$

Norme énergétique de la fonction résidu

$$\int_{0}^{\ell} \left[\rho^{2} + (d\rho/dx)^{2} \right] dx \le \frac{h^{2}}{\pi^{2}} \left[1 + \frac{h^{2}}{\pi^{2}} \right] \int_{0}^{\ell} (d^{2}u/dx^{2})^{2} dx$$

$$\le \frac{h^{2}}{\pi^{2}} \int_{0}^{\ell} (d^{2}u/dx^{2})^{2} dx \qquad (h/\ell << 1)$$

Norme énergétique de l'erreur entre solution exacte et déplacement approché (norme H^1)

$$\int_0^\ell \left[(e^h)^2 + (\mathrm{d}e^h/\mathrm{d}x)^2 \right] \mathrm{d}x \le \int_0^\ell \left[\rho^2 + (\mathrm{d}\rho/\mathrm{d}x)^2 \right] \mathrm{d}x$$

$$\le \frac{h^2}{\pi^2} \int_0^\ell (\mathrm{d}^2 u/\mathrm{d}x^2)^2 \, \mathrm{d}x$$
Meilleure approximation possible

-106-

Norme énergétique de l'erreur entre solution exacte et déplacement approché (norme H^1)

$$\int_0^{\ell} \left[(e^h)^2 + (de^h/dx)^2 \right] dx \le \int_0^{\ell} \left[\rho^2 + (d\rho/dx)^2 \right] dx$$

$$\le \frac{h^2}{\pi^2} \int_0^{\ell} (d^2u/dx^2)^2 dx$$

$$\Rightarrow \|e^h\|_1^2 \le \|\rho\|_1^2 \le \frac{h^2}{\pi^2} \|d^2u/dx^2\|_0^2$$

-107-

Norme énergétique de l'erreur entre solution exacte et déplacement approché (norme H^1)

$$\int_0^{\ell} \left[(e^h)^2 + (de^h/dx)^2 \right] dx \le \int_0^{\ell} \left[\rho^2 + (d\rho/dx)^2 \right] dx$$

$$\le \frac{h^2}{\pi^2} \int_0^{\ell} (d^2u/dx^2)^2 dx$$

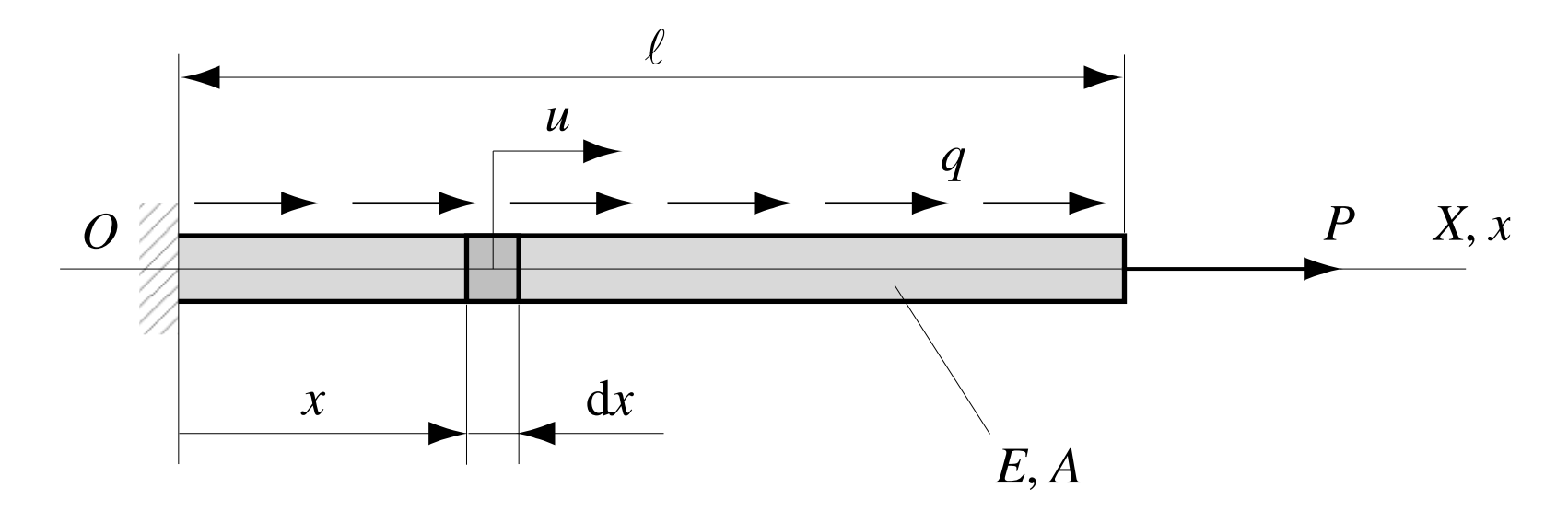
$$\Rightarrow \|e^h\|_1^2 \le \|\rho\|_1^2 \le \frac{h^2}{\pi^2} \|d^2u/dx^2\|_0^2$$

$$\Rightarrow \left(\| e^h \|_1 \le C_1 h \right) \quad (h/\ell << 1)$$

18/10/2018 -108-

• Energie potentielle totale (fonctionnelle) du système

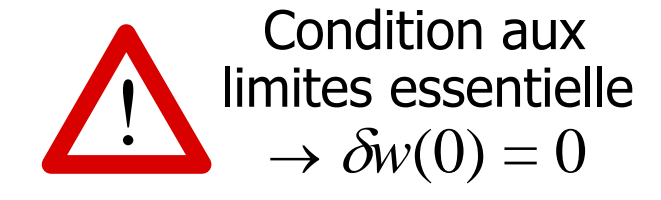
$$J(w) = \frac{1}{2} \int_0^{\ell} EA \, (\mathrm{d}w/\mathrm{d}x)^2 \, \mathrm{d}x - \left[\int_0^{\ell} q \, w \, \mathrm{d}x + P \, w(\ell) \right]$$
 énergie de déformation travail des forces externes



-109-

- Approche variationnelle
 - Minimisation de la fonctionnelle

$$J(u) \leq J(w) \quad \forall \ w \in U$$



Variation première de la fonctionnelle

$$\delta J(w) = \int_0^{\ell} EA \left(\frac{dw}{dx} \right) \left(\frac{d\delta w}{dx} \right) dx$$

$$- \left[\int_0^{\ell} q \, \delta w \, dx + P \, \delta w(\ell) \right]$$

$$= -\int_0^{\ell} \left[EA \left(\frac{d^2 w}{dx^2} \right) + q \right] \, \delta w \, dx$$

$$+ \left[EA \left(\frac{dw}{dx} \right) \right|_{x=\ell} - P \right] \, \delta w(\ell)$$

-110-2018

Stationnarité de la fonctionnelle

$$\delta J(w = u) = 0 \quad \forall w \in U$$

$$\Rightarrow EA (d^2w/dx^2) + q = 0$$

$$EA (dw/dx)|_{x = \ell} - P = 0$$

-111-

Stationnarité de la fonctionnelle

$$\delta J(w = u) = 0 \quad \forall w \in U$$

$$\Rightarrow EA (d^2w/dx^2) + q = 0$$

$$EA (dw/dx)|_{x = \ell} \Rightarrow P = 0$$
équations d'Euler-Lagrange



Equivalence de la formulation variationnelle et de la forme forte

-112-

- Méthode de Ritz-Galerkin
 - Approximation de Ritz-Galerkin

$$w^h(x) = \sum_{i=1}^n \alpha_i h_i(x)$$



Analogie avec la méthode de Galerkin

Fonctionnelle approchée

$$J(w^h) = \frac{1}{2} \int_0^{\ell} EA \left(\frac{dw^h}{dx} \right)^2 dx$$
$$- \left[\int_0^{\ell} q w^h dx + P w^h(\ell) \right]$$

Insertion de l'approximation dans la fonctionnelle approchée

$$J(w^h) = \frac{1}{2} \sum_{i=1}^n \sum_{j=1}^n \alpha_i \, k_{ij} \, \alpha_j - \sum_{i=1}^n \alpha_i \, r_i$$
 Analogie avec
$$k_{ij} = \int_0^\ell EA \, (\mathrm{d}h_i/\mathrm{d}x) \, (\mathrm{d}h_j/\mathrm{d}x) \, \mathrm{d}x$$
 la formule de Clapeyron
$$r_i = h_i(\ell) \, P \, + \int_0^\ell h_i \, q \, \mathrm{d}x$$

Minimisation de la fonctionnelle approchée

$$\partial J(w^h = u^h)/\partial \alpha_i = 0$$
 $(i = 1, 2, ..., n)$ Analogie avec la méthode $\Rightarrow \sum_{i=1}^n k_{ij} \alpha_j = r_i$ $(i = 1, 2, ..., n)$ des éléments finis

Analogie avec finis

- Interprétation physique de la forme variationnelle approchée
 - Surestimation de l'énergie potentielle totale J

$$J(u) \leq J(w) \quad \forall w \in U$$

$$\Rightarrow J(u) \leq J(u^h) \quad \forall u^h \in U^h$$

• Energie potentielle totale au point de stationnarité (w = u)

$$J(u) = \frac{1}{2} \int_0^{\ell} EA \, (du/dx)^2 \, dx - \int_0^{\ell} q \, u \, dx - P \, u(\ell)$$

• Forme faible au point de stationnarité ($\delta u = u$)

$$\int_0^\ell EA \ (\mathrm{d}u/\mathrm{d}x)^2 \ \mathrm{d}x \ = \ \int_0^\ell q \ u \ \mathrm{d}x \ + \ P \ u(\ell)$$

-115-

Lien entre énergie potentielle totale J et énergie de déformation U

$$J(u) = -\frac{1}{2} \int_0^{\ell} EA (du/dx)^2 dx = -U(u)$$

Sous-estimation de l'énergie de déformation U

$$J(u) \leq J(u^h) \quad \forall \ u^h \in U^h$$

$$\Rightarrow U(u) \geq U(u^h) \quad \forall \ u^h \in U^h$$



Sous-estimation Surestimation des déplacements de la rigidité

